



刘小飞.重庆市主城区PM_{2.5}时空变化特征研究[J].能源环境保护,2021,35(1):73-77.
 LIU Xiaofei. Study on the temporal and spatial variation characteristics of PM_{2.5} in the main urban area of Chongqing[J]. Energy Environmental Protection, 2021, 35(1):73-77.

移动扫码阅读

重庆市主城区PM_{2.5}时空变化特征研究

刘小飞

(重庆财经学院,重庆 401320)

摘要:基于2013~2018年监测数据,采用GIS空间重心转移等方法分析了重庆市主城区PM_{2.5}区域空间分布特征。结果表明:重庆主城区PM_{2.5}年均值呈逐年下降趋势,各区PM_{2.5}下降趋势逐渐趋同,平均变化率为-11.29%,下降速率优于全国平均水平;冬季日均值超标率为20.14%,阶段性上升趋势明显;周循环变化特征呈U型,日循环小时变化特征呈W型;主城区PM_{2.5}重心一直在江北区移动,冬季空间整体特征为西北高、东南低、核心区高、郊区低。

关键词:PM_{2.5}; GIS; 时空变化特征; 重庆市主城区

中图分类号:X831

文献标识码:A

文章编号:1006-8759(2021)01-0073-05

Study on the temporal and spatial variation characteristics of PM_{2.5} in the main urban area of Chongqing

LIU Xiaofei

(Chongqing Financ and Economics College, Chongqing 401320, China)

Abstract: Based on the monitoring data from 2013 to 2018, the spatial distribution characteristics of PM_{2.5} in the main urban area of Chongqing were analyzed using methods such as GIS spatial center of gravity analysis. The results show that the annual average value of PM_{2.5} in the main urban area of Chongqing shows a downward trend year by year, with an average change rate of -11.29%, which is better than the national average level. The decline trends of PM_{2.5} concentration in different districts gradually converges. The daily average overwhelming rate in winter is 20.14%, and the upward trend is obvious in stages. The characteristics of the weekly cycle change are "U-shaped" and the characteristics of the daily cycle hour change are "W-shaped". The PM_{2.5} pollution center in the main urban area has been moving in the Jiangbei District. The overall spatial characteristics in winter are "high in the northwest, low in the southeast" and "high in the core area, and low in the suburbs".

Key Words:PM_{2.5}; GIS; Spatial and temporal variation characteristics; Main urban area of Chongqing

0 引言

自全国爆发雾霾现象以来,PM_{2.5}是最受政府和公众关注的因子之一。重庆市具有我国一带一路等战略地位,为此,研究重庆市主城区特别是在时间、空间上的变化特征有实际意义。

近年来国内对PM_{2.5}研究较多集中在来源分析、分布特征、危害人类健康三个方面^[1-5];发现PM₁₀中四成到八成左右为PM_{2.5}^[7,9];PM_{2.5}浓度的

空间分布大部分呈现城市中心较高,郊区较低的现象^[6,8,10];季节变化表现为春季、冬季的浓度值较高,夏季、秋季的浓度值较低;月循环变化规律以及季节循环变化规律比较明显^[11-15];日浓度变化呈现“驼峰式”的规律。

1 技术路线

1.1 分析内容

包括两部分:长期趋势和中短期规律:

(1) 长期趋势分析:采用 2013~2018 年重庆市主城区各区连续 6 年年均值变化说明整体时间趋势;利用 Excel 自带 CORREL 指数说明九区之间的关联性;VAR.P 函数计算基于整个样本总体的方差;CR 变化率指数,计算连续序列的变化程度;ArcGIS 污染重心转移分析,具体利用 ArcGIS 10.2 软件对主城区 PM_{2.5} 在地理二维空间内近年来重心位移,揭示空间变化过程。重心计算模型为:

$$X_k = \frac{\sum_{i=1}^n (A_{ki} \times X_{ki})}{A_k}, Y_k = \frac{\sum_{i=1}^n (A_{ki} \times Y_{ki})}{A_k} \quad (1)$$

式中: X_k —k 区重心 X 坐标值, Y_k —k 区重心 Y 坐标值, A_{ki} —k 区 i 污染因子的面积, X_{ki} —k 区 i 污染因子对应范围内 X 坐标的平均值; Y 同理。本次研究 PM_{2.5} 一个污染因子故 i 取 1。鉴于重心坐标变化可以更好地说明重心的移动方向,在研究中,不同年际区域重心空间移动方向采用下述公式予以确定:

$$\theta_{i-j} = n\pi + \arctg\left(\frac{y_i - y_j}{x_i - x_j}\right) \quad (n=-1, 0, 1) \quad (2)$$

式中, θ 表示重心年际移动的角度 ($-180^\circ < \theta < 180^\circ$), 且规定正东方向为 0° , 逆时针旋转为正, 顺时针旋转为负。假设 d 表示第 i 年重心移动的距离(相对于第 j 年), 则:

$$d_{i-j} = c \times \sqrt{(y_i - y_j)^2 + (x_i - x_j)^2} \quad (3)$$

式中, (x_i, y_i) 、 (x_j, y_j) 分别表示第 i 年和第 j 年的区域重心的经度值和纬度值; c 为常数, 取 111.111, 是把地球表面坐标单位(度)转化为平面距离(km)的系数; $c \times (x_i - x_j)$ 、 $c \times (y_i - y_j)$ 分别表示重心经纬方向上移动的实际距离。

(2) 中短期规律分析:利用 Excel 作连续数据分析周日均值、日小时变化的时间变化特征;利用 Surfer 软件分析“冬季平均”、“周中最大值出现”、

表 1 重庆市 PM_{2.5}长期变化趋势分析

Table 1 Analysis on the long-term trend of PM_{2.5} in Chongqing

	2013	2014	2015	2016	2017	2018	平均
AVERAGE/(μg · m ⁻³)	71	66	55	54	43	38	54.5
CORREL	—	0.78	0.37	0.55	0.82	0.75	0.65
VAR.P	—	0.32%	0.29%	0.33%	0.12%	0.09%	0.23%
CR	—	-7.23%	-16.20%	-1.25%	-20.18%	-11.61%	-11.29%

近年重庆主城区 PM_{2.5} 重心在江北区移动, 整体呈“一路向北”特征, PM_{2.5} 历年年均值重心转移见图 2 所示。

“周末最大值”出现 3 个场景的时空变化特征, 采用 kriging 插值法。

1.2 数据来源与预处理

数据来源于中国监测总站和重庆市监测站发布的实时小时值, 应搜集 37 536 条, 实际搜集 35 927 条, 缺失数据 1 609, 为监测站点未发布数据所致, 数据缺失率仅为 4.5%。缺失数据按照同一时间段, 距离最近的三个监测点的监测值取算数平均处理。日均值、月均值则采用对时间尺度上的小时值取算数平均值。

2 分析结果及评估

2.1 长期变化特征分析

① 主城九区年均值逐年下降; ② CORREL 大于 0.6, 小于 1, 相关性好; VAR.P 平均为 0.23%, 差异性较小, 且逐渐变小, 说明震荡幅度变小逐渐趋于平滑; 说明 PM_{2.5} 变化一致性好。③ CR 平均为 -11.29%, 下降速率优于全国平均水平。④ 年均值依然超标。趋势见图 1。

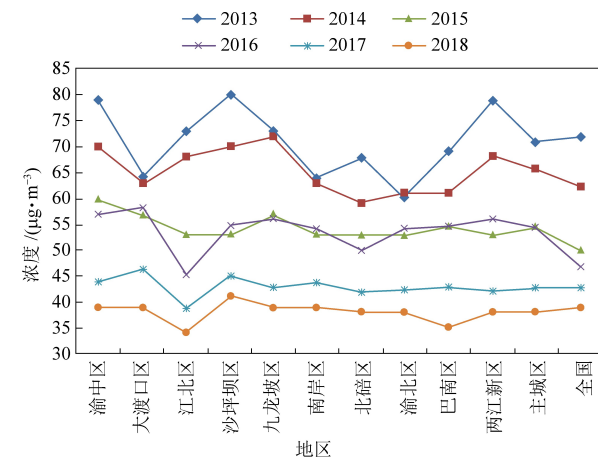


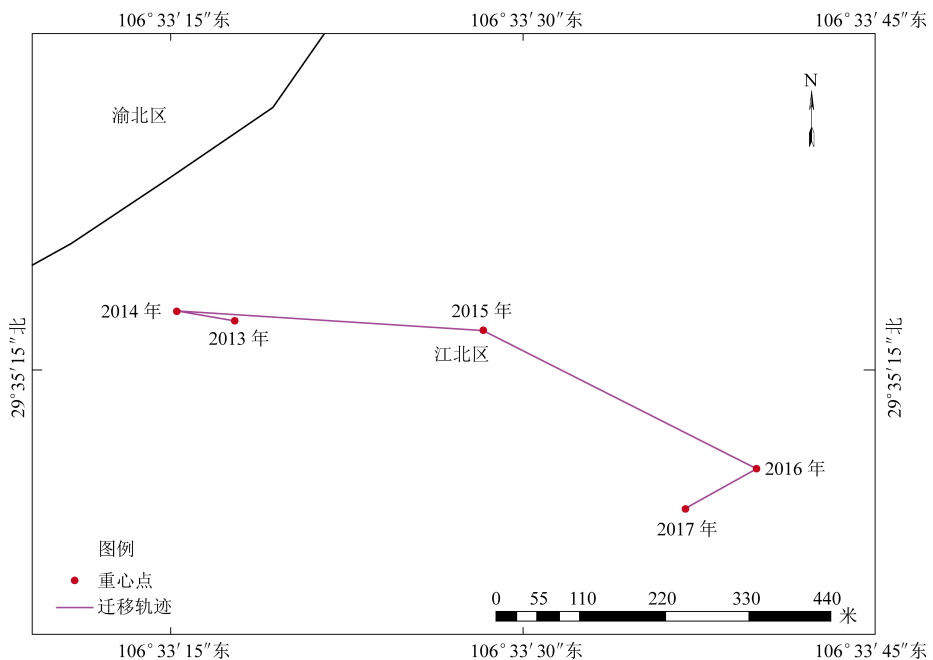
图 1 重庆主城区 PM_{2.5}年均值变化趋势图

Fig.1 Trend of annual average PM_{2.5} in the main urban area of Chongqing

2.2 中短期变化特征分析

(1) 日均值、周日均值和日小时变化特征

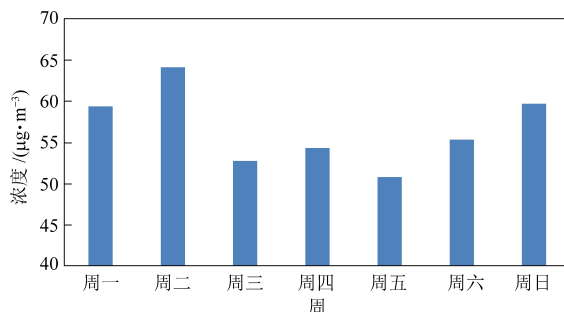
主城区冬季 17 个站点, 92 天, 1 564 个日均值, 大于 75 μg/m³ (国家二级标准值) 样品数为 315 个,

图 2 2013~2017 年 $\text{PM}_{2.5}$ 历年平均值重心转移图Fig.2 Diagram of annual average $\text{PM}_{2.5}$ center shift from 2013 to 2017

超标率 20.14%。

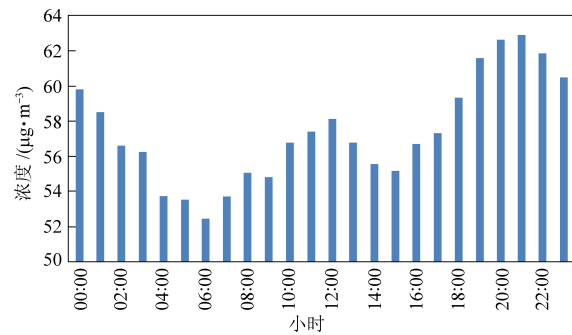
$\text{PM}_{2.5}$ 一周整体变化趋势呈“U”字型，即周末高，周中低，浓度在 $50\sim65 \mu\text{g}/\text{m}^3$ 。冬季 $\text{PM}_{2.5}$ 周间日均值变化见图 3。

$\text{PM}_{2.5}$ 每天小时变化呈“W”字型，出现三个峰值，两个谷值。6:00 的浓度值最低，为 $52.46 \mu\text{g}/\text{m}^3$ ，21:00 的浓度值最高，为 $62.9 \mu\text{g}/\text{m}^3$ ，相差 $10.44 \mu\text{g}/\text{m}^3$ 。冬季 $\text{PM}_{2.5}$ 日间小时值变化见图 4。

图 3 冬季 $\text{PM}_{2.5}$ 周间日均值Fig.3 Weekly average $\text{PM}_{2.5}$ in winter

(3) 典型情景分析

三个典型情景：冬季（连续三个月）、周中（以周三为例）、周末（以周日为例），分布见图 5~7。色阶选取：颜色越浅，浓度值越高。结论：①不同情景下， $\text{PM}_{2.5}$ 浓度呈“西北高、东南低”的特征；②三种情景区域空间分布特征趋同，说明重庆市主城区各区的环境空气质量区域稳定；③冬季浓度区间 $45\sim60 \mu\text{g}/\text{m}^3$ ，周三浓度区间 $45\sim55 \mu\text{g}/\text{m}^3$ ，

图 4 冬季 $\text{PM}_{2.5}$ 日间小时值Fig.4 Hourly average $\text{PM}_{2.5}$ during the daytime in winter

周末浓度区间 $50\sim65 \mu\text{g}/\text{m}^3$ ；④符合中心区域高、郊区低的整体特征。

2.3 成因简析

重庆近年来，坚持“退二进三”、主推“蓝天行动”，使得重庆市主城区范围内主要大气污染排放的工况企业大量减少；此外，对餐饮、施工场地、交通控制等专项行动都有助于整体水平改善。冬季受北方冷空气影响，携带大量颗粒物入境，加之重庆冬季风速较低，造成冬季污染明显；此外，周变化明显受工作和生活特征影响，通常周末以及工作日头两天使用私家车频率较高；24 小时以内的小时变化与其他城市情况类似，早晚两个上下班高峰期会逐步拉高污染水平且会延续 3 个小时左右。以上为成因需进一步结合污染物源解析、汽车排放核算、地表植被和粗糙度、气象数据等进行

综合论证,也是进一步深入研究的思路。

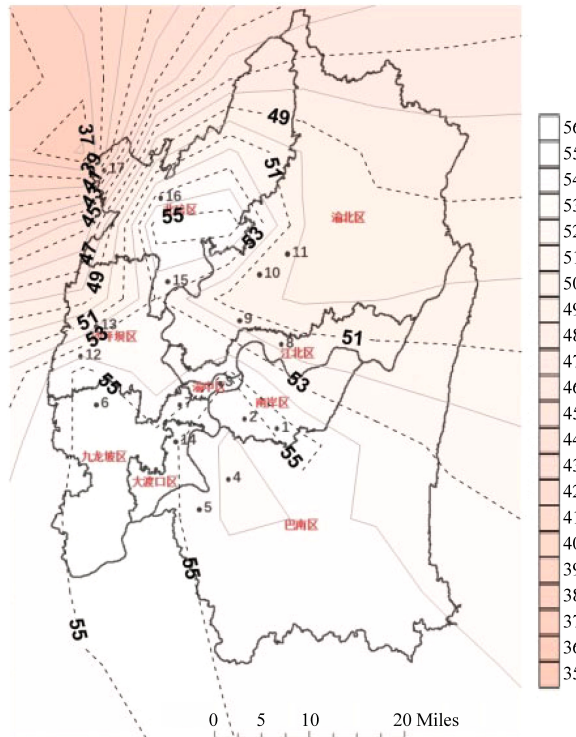


图 5 冬季 PM_{2.5} 平均浓度分布图

Fig.5 Distribution of average PM_{2.5} concentration in Winter

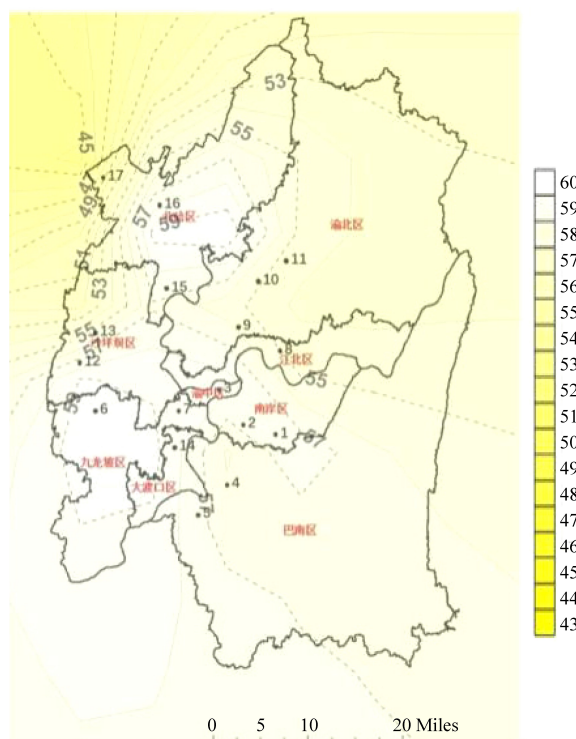


图 6 周三 PM_{2.5} 小时平均浓度分布

Fig.6 Distribution of hourly average PM_{2.5} concentration on Wednesdays

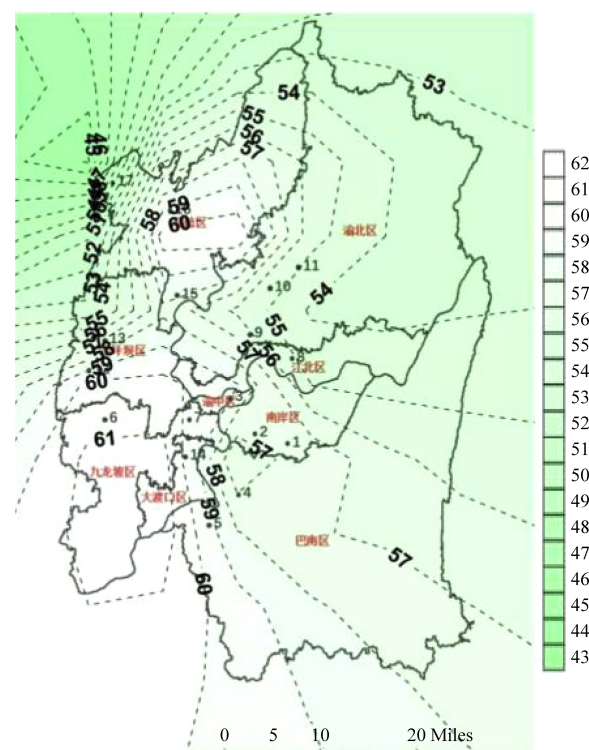


图 7 周末 PM_{2.5} 小时平均浓度分布

Fig.7 Distribution of hourly average PM_{2.5} concentration on weekends

3 结论

时间上,PM_{2.5}年均值逐年呈下降趋势,平均值水平和递减速率优于全国平均;主城各区变化趋势一致性较好;典型污染季集中在冬季,冬季11月-次年1月,PM_{2.5}整体呈上升趋势。周循环变化特征呈“U”字型,周三到周五浓度较低,周六到周二浓度较高;日循环小时变化特征呈“W”字型,出现三个峰值,两个谷值。

空间上,呈“西北高、东南低”、“核心区高、郊区低”的整体特征,形成了一条东北-西南走向的分界线;为高浓度区域集中在主城区中心西部偏北地区,该地区属于重庆老城区中心两江交汇河谷地区逐渐向外拓展区域。2013~2018年重庆主城区PM_{2.5}重心一直在江北区移动。

参考文献

- [1] 杨复沫,贺克斌,马永亮,等.北京大气PM_{2.5}中微量元素的浓度变化特征与来源 [J].环境科学,2003,24(6): 33-37.
- [2] 郑尼娜,徐雅琦,产院兰.河北省主要城市空气污染时空分布特征分析 [J].新疆师范大学学报(自然科学版),2018,37(2): 37-43.
- [3] 黄怡民,付川.我国PM_{2.5}污染特征的研究进展 [J].重庆

- 三峡学院学报, 2013, 29 (145): 105-107.
- [4] 王玮, 汤大钢, 刘红杰, 等. 中国PM_{2.5}污染状况和污染特征的研究 [J]. 环境科学研究, 2000, 13 (1): 2.
- [5] 隋珂珂, 王自发, 杨军, 等. 北京PM₁₀持续污染及与常规气象要素的关系 [J]. 环境科学研究, 2007, 20 (6): 77-82.
- [6] 王越, 栾英, 吴昊. 哈尔滨市空气污染指标时间变化规律的研究 [J]. 环境科学与管理, 2005, 30 (3): 44.
- [7] 朱振亚, 饶良懿, 余新晓, 等. 北京市空气质量及其与能源消费结构的动态关联 [J]. 中国环境监测, 2014, 30 (5): 4-9.
- [8] 王越, 栾英, 吴昊. 哈尔滨市空气污染指标时间变化规律的研究 [J]. 环境科学与管理, 2005, 30 (3): 44.
- [9] 杨雨蒙, 杨凌霄, 张俊美, 等. 济南市冬季灰霾日PM_{1.0}和PM_{1.0-2.5}污染特征 [J]. 山东大学学报 (工学版), 2017, 47 (2): 111-116.
- [10] 陈楠, 操文祥, 丁青青, 等. 平湖北省PM_{2.5}与PM₁₀比值分析及PM_{2.5}时空分布特征研究 [J]. 环境科学与管理, 2017 (1): 98-102.
- [11] 肖悦, 田永中, 许文轩, 等. 中国城市大气污染特征及社会经济影响分析 [J]. 生态环境学报, 2018 (3): 518-526.
- [12] 江道阳, 朱秋缘, 李军利. 基于GIS的合肥市空气质量时空特征分析 [J]. 黄山学院学报, 2018, 20 (3): 74-77.
- [13] 周海峰. 中国城市空气污染的时空变化规律及其社会经济影响因素 [D]. 杭州: 浙江财经大学, 2019: 1-59.
- [14] 李祥, 彭玲, 池天河, 等. 北京市空气质量时空特征分析 [J]. 测绘通报, 2016 (9): 47-51.
- [15] 王文萍, 武晓威. 2015~2017年哈长城市群空气质量指数时空分布特征分析 [J]. 哈尔滨师范大学自然科学学报, 2018 (6): 97-104.